

Cambio di variabili negli integrali multipli

Premessa

In non così i teoremi di riduzione abbinate alla proprietà di "assolutività" rispetto al dominio permettono di esprimere il calcolo di un integrale multiplo. Tuttavia se le geometrie del dominio d'integrazione è troppo complesso questo metodo può fallire. Può essere utile allora cercare un cambiamento di variabili che trasformi il dominio dato in un altro essendo una geometria più semplice.

Esempio del caso unidimensionale

Teorema

Se $f : I = [a, b] \rightarrow \mathbb{R}$ è continua e $\varphi : K = [\alpha, \beta] \rightarrow I$ è tale che

- (i) φ è di classe C^1
- (ii) φ è bijectiva
- (iii) $\varphi'(t) \neq 0$ in K ,

Allora

$$\int_a^b f(x) dx = \begin{cases} \int_{\alpha}^{\beta} f(\varphi(t)) \varphi'(t) dt, & \text{se } \varphi' > 0 \\ \int_{\beta}^{\alpha} f(\varphi(t)) \varphi'(t) dt & \text{se } \varphi' < 0, \end{cases}$$

cioè

$$\int_I f = \int_a^b f(x) dx = \int_{\alpha}^{\beta} f(\varphi(t)) |\varphi'(t)| dt = \int_K (f \circ \varphi) \cdot |\varphi'|$$

Vogliamo estendere questa formula al caso N -dimensionale.

Prendiamo spunto da un caso semplice: il caso lineare in \mathbb{R}^3 .

Trasformazione lineare di coordinate in \mathbb{R}^3

Siano $a = (a_1, a_2, a_3)$, $b = (b_1, b_2, b_3)$, $c = (c_1, c_2, c_3) \in \mathbb{R}^3$ linearmente indipendenti, cioè $(a \times b) \cdot c \neq 0$, o equivalentemente, posto $IM = \left(\begin{matrix} a_1 & b_1 & c_1 \\ a_2 & b_2 & c_2 \\ a_3 & b_3 & c_3 \end{matrix} \right)$,

$\det IM = (a \times b) \cdot c \neq 0$. Consideriamo il parallelepipedo

$$E = \{u\alpha + v\beta + w\gamma : 0 \leq u \leq 1, 0 \leq v \leq 1, 0 \leq w \leq 1\}.$$

Risulta

$$M_3(E) = |(a \times b) \cdot c| = |\det IM|.$$

Definiamo $\Phi : \mathbb{R}^3 \rightarrow \mathbb{R}^3$, ponendo $\Phi(u, v, w) = IM \begin{pmatrix} u \\ v \\ w \end{pmatrix}$, e $K = [0, 1]^3$. Si dice che Φ è di classe C^1 , con $J\Phi = IM$, Φ è biiettiva, $\Phi(K) = E$

e

$$\iiint_E 1 dx dy dz = M_3(E) = |\det IM| = \iiint_K |\det J\Phi| du dv dw.$$

Osservazione

$|\det J\Phi|$ è il fattore d'ingrandimento dei volumi legato alla trasformazione Φ .

Formule di cambiamento di variabili

Innini localmente misurabili

Sia $J \subseteq \mathbb{R}^N$. Si dice che J è localmente misurabile in \mathbb{R}^N se, per ogni insieme E misurabile di \mathbb{R}^N , $E \cap J$ è misurabile in \mathbb{R}^N .

Trasformazione regolare di coordinate

Siano $A, B (\subseteq \mathbb{R}^N)$ aperti localmente misurabili. Si dice che $\Phi: A \rightarrow B$ è una trasformazione regolare di coordinate se

- (i) Φ è di classe C^1
- (ii) Φ è biettiva
- (iii) $\det(J\Phi) \neq 0$ in ogni punto di A .

$\Rightarrow \Phi$ diffeomorfismo
di classe C^1

Teorema

Siano $A, B (\subseteq \mathbb{R}^N)$ aperti localmente misurabili e $\Phi: A \rightarrow B$ una trasformazione regolare di coordinate.

Se $f: E \rightarrow \mathbb{R}$ è integrabile su $E (\subseteq B)$ limitato e $K(SA)$ è un insieme misurabile tale che $\Phi(K) = E$ e $|\det(J\Phi)|$ è limitato su K , allora E è misurabile,

$$(f \circ \Phi) |\det(J\Phi)| \text{ è integrabile su } K$$

e

$$\int_E f = \int_K (f \circ \Phi) \cdot |\det(J\Phi)|.$$

Osservazione

Se $f=1$, allora $m_N(E) = \int_K |\det(J\Phi)|$.

\uparrow
fattore di ingrandimento
locale delle misure

Applicazioni degli integrali doppii

Trasformazione lineare di coordinate

Sia M matrice 2×2 con $\det M \neq 0$. La funzione $\Phi: \mathbb{R}^2 \rightarrow \mathbb{R}^2$, con $\Phi(u, v) = M(u)$, è una trasformazione regolare di coordinate.

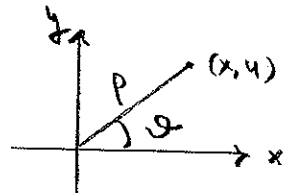
Esempio

Calcolare $\iint_E xy \, dx \, dy$, con $E = \{(x, y) : 2x + y \leq 2x + 1,$
 $y - 1 \leq x \leq y\}$

Coordinate polari

Per ogni $(x, y) \in \mathbb{R}^2$, esistono $\rho \in [0, +\infty]$ e $\vartheta \in [-\pi, \pi]$ tali che

$$\begin{cases} x = \rho \cos \vartheta \\ y = \rho \sin \vartheta \end{cases}$$



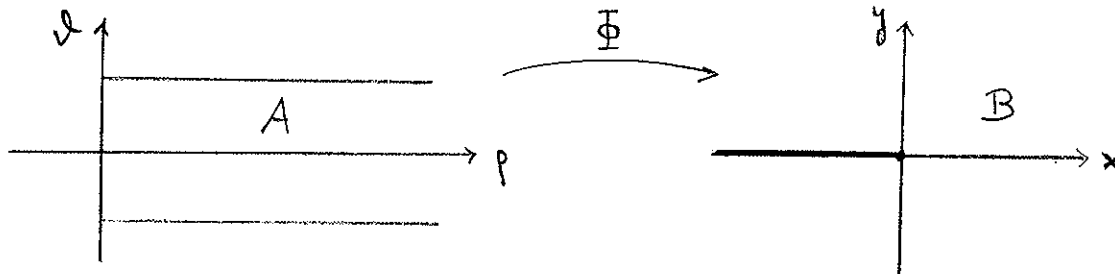
Posto $A = \{(\rho, \vartheta) : \rho > 0, -\pi < \vartheta < \pi\}$

$$\text{e } B = \mathbb{R}^2 \setminus \{(x, 0) : x \leq 0\},$$

avrà individuato una trasformazione regolare di coordinate

$$\Phi: A \rightarrow B, \text{ definita da } \Phi(\rho, \vartheta) = (\rho \cos \vartheta, \rho \sin \vartheta).$$

Infatti: Φ è di classe C^1 , Φ è iniettiva e $\det(J\Phi)(\rho, \vartheta) = \rho > 0$.



Esempio

Calcolare $\iint_E (x^3 + xy^2) \, dx \, dy$, con $E = \{(x, y) : 1 \leq x^2 + y^2 \leq 4,$
 $0 \leq y \leq x\}$.

Altri esempi

- Calcolare $M_2(E)$,

con $E = \{(x,y) : \frac{x^2}{a^2} + \frac{y^2}{b^2} \leq 1\}$ ($a, b > 0$ fissati).

Introducendo le coordinate ellittiche definite da

$\Phi: A = [0, +\infty[\times]-\pi, \pi[\rightarrow B = \mathbb{R}^2 / \{(x,0) : x \leq 0\}$, $\Phi(r, \varphi) = (r \rho \cos \varphi, r \rho \sin \varphi)$,
si ottiene

$$M_2(E) = \iint_K a^2 \rho d\rho d\varphi \quad (\det(J\Phi) = a b \rho)$$

con $K = \{(r, \varphi) : 0 < \rho < 1, -\pi < \varphi < \pi\}$.

- Calcolare $\iint_E \frac{1}{xy} dx dy$,

con $E = \{(x, y) : x > 0, y > 0, x + y \leq 2x, 1 \leq x + y \leq 2\}$.

Introducendo le coordinate curvilinee definite da

$\tilde{\Phi}: A = [0, +\infty[^2 \rightarrow B = [0, +\infty[^2$, $\tilde{\Phi}(u, v) = (\sqrt{uv}, \sqrt{uv})$,

si ottiene

$$\iint_E \frac{1}{xy} dx dy = \iint_K \frac{1}{uv} \cdot \frac{1}{2u} du dv \quad (\det(J\tilde{\Phi}) = \frac{1}{2u})$$

con

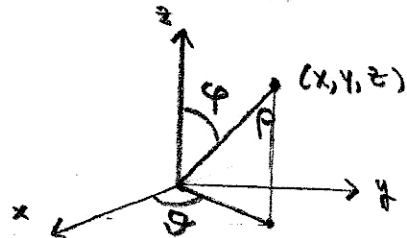
$K = \{(u, v) : 1 \leq u \leq 2, 1 \leq v \leq 2\}$.

Applicazioni agli integrali triple

• Coordinate sferiche

Per ogni $(x, y, z) \in \mathbb{R}^3$, esistono $\rho \in [0, +\infty]$, $\vartheta \in [-\pi, \pi]$, $\varphi \in [0, \pi]$ tali che

$$\begin{cases} x = \rho \cos \vartheta \sin \varphi \\ y = \rho \sin \vartheta \sin \varphi \\ z = \rho \cos \varphi. \end{cases}$$



Posto $A = \{(r, \vartheta, \varphi) : r > 0, -\pi < \vartheta < \pi, 0 < \varphi < \pi\}$

e $B = \mathbb{R}^3 \setminus \{(x, 0, z) : x \leq 0, z \in \mathbb{R}\}$,

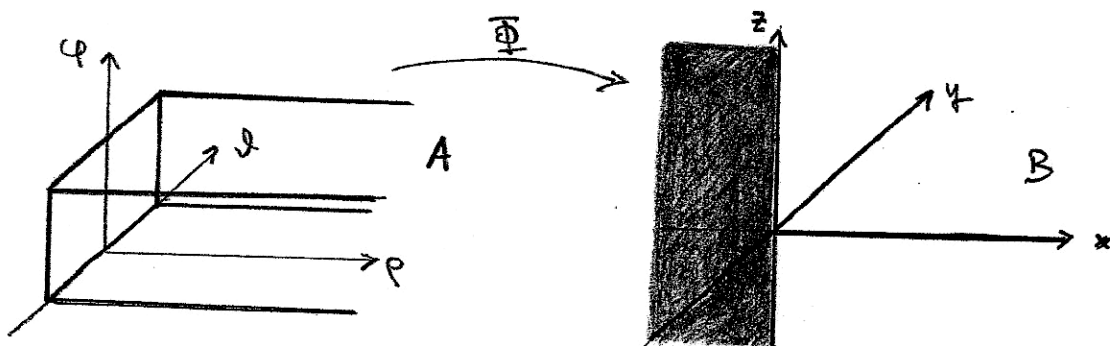
resta individuata una trasformazione regolare chiamata

$\Phi: A \rightarrow B$, definita da

$$\Phi(r, \vartheta, \varphi) = (\rho \cos \vartheta \sin \varphi, \rho \sin \vartheta \sin \varphi, \rho \cos \varphi).$$

Inoltre: Φ è ch. classe C^1 , Φ è biiettiva e

$$\det(J\Phi)(r, \vartheta, \varphi) = -r^2 \sin \varphi \neq 0.$$



Esempio

Calcolare $\iiint_E |z| dx dy dz$,

con $E = \{(x, y, z) : (x^2 + y^2 + z^2)^2 \leq x^2 + y^2 + z^2\}$.

• Coordinate cilindriche

Introducendo coordinate polari nel piano xy e metto

$$A = \{(r, \theta, z) : r > 0, -\pi < \theta < \pi, z \in \mathbb{R}\}$$

e $B = \mathbb{R}^3 \setminus \{(x, 0, z) : x \leq 0, z \in \mathbb{R}\}$,

resta individuare una trasformazione regolare di coordinate

$$\Phi : A \rightarrow B, \text{ definita da } \Phi(r, \theta, z) = (r \cos \theta, r \sin \theta, z).$$

Infatti: Φ è di classe C^1 , Φ è bieettiva e $\det(J\Phi)(r, \theta, z) = r > 0$.

Esempio

Calcolare l'orientato di $E = \{(x, y, z) : \sqrt{x^2 + y^2} \leq z \leq \sqrt{1 - x^2 - y^2}\}$

Altri esempi

- Calcolare $m_3(E)$,

$$\text{con } E = \{(x, y, z) : \frac{x^2}{a^2} + \frac{y^2}{b^2} + \frac{z^2}{c^2} \leq 1\} \quad (a, b, c > 0 \text{ fissati})$$

Introducendo le coordinate ellissoidali definite da

$$\Psi : A = [0, \pi] \times [-\pi, \pi] \times [0, \pi] \rightarrow B = \mathbb{R}^3 \setminus \{(x, 0, z) : x \leq 0, z \in \mathbb{R}\},$$

$$\Psi(r, \theta, \varphi) = (a r \cos \theta \sin \varphi, b r \sin \theta \sin \varphi, c r \cos \varphi),$$

si ottiene

$$m_3(E) = \iiint_K abc r^2 \sin \varphi \, dr d\theta d\varphi \quad (\left| \det(J\Psi) \right| = abc r^2 \sin \varphi)$$

$$\text{con } K = [0, 1] \times [-\pi, \pi] \times [0, \pi].$$

- Calcolare $m_3(E)$

$$\text{con } E = \{(x, y, z) : 0 \leq x + y + z \leq 1, 1 \leq x - y + z \leq 2, 2 \leq x + y - z \leq 3\}.$$

Misura delle nolle unitarie in \mathbb{R}^N

Per ogni $\lambda > 0$,

$$B_\lambda = \{(x_1, \dots, x_N) \in \mathbb{R}^N : x_1^2 + \dots + x_N^2 \leq \lambda^2\}$$

e

$$\omega_N = m_N(B_1).$$

Sime

$$m_N(B_\lambda) = \lambda^N m_N(B_1) = \lambda^N \omega_N.$$

Per ogni $t \in [-1, 1]^C$, poniamo

$$\begin{aligned} E(t) &= B_1 \cap \{(x_1, \dots, x_N) : x_N = t\}, \\ &= \{(x_1, \dots, x_N) : x_1^2 + \dots + x_{N-1}^2 = 1 - t^2, x_N = t\}, \end{aligned}$$

cioè $E(t)$ è una nolla $(N-1)$ -dimensionale

di raggio $\sqrt{1-t^2}$. Quindi risulta

$$m_{N-1}(E(t)) = (1-t^2)^{\frac{N-1}{2}} \cdot \omega_{N-1}$$

Integrando per settori si ha

$$\begin{aligned} m_N(B_1) &= \int_{-1}^1 (1-t^2)^{\frac{N-1}{2}} \omega_{N-1} dt \\ &= 2 \omega_{N-1} \int_0^1 (1-t^2)^{\frac{N-1}{2}} dt \\ &= 2 \omega_{N-1} \int_0^{\frac{\pi}{2}} (\cos u)^N du. \end{aligned}$$

Integrando per settori si ottiene

$$\int_0^{\frac{\pi}{2}} (\cos u)^N du = \frac{N-1}{N} \int_0^{\frac{\pi}{2}} (\cos u)^{N-2} du$$

e quindi

se N è pari, allora

$$\int_0^{\frac{\pi}{2}} (\cos u)^N du = \frac{(N-1)(N-3)\dots 3 \cdot \frac{\pi}{2}}{N(N-2)\dots 2} = \frac{(N-1)!!}{N!} \cdot \frac{\pi}{2}$$

se N è dispari, allora

$$\int_0^{\frac{\pi}{2}} (\cos u)^N du = \frac{(N-1)!!}{N!!}$$

Posto $A_N = \begin{cases} \frac{\pi}{2} & \text{se } N \text{ è pari} \\ 1 & \text{se } N \text{ è dispari} \end{cases} \rightarrow \text{a fine}$

$$w_N = 2 \frac{(N-1)!!}{N!!} A_N \cdot w_{N-1},$$

e quindi

$$\begin{aligned} w_N &= 2 \frac{(N-1)!!}{N!!} A_N \left(2 \frac{(N-2)!!}{(N-1)!!} A_{N-1} w_{N-2} \right) \\ &= 4 \frac{(N-2)!!}{N!!} \frac{\pi}{2} w_{N-2} \\ &= \frac{2\pi}{N} w_{N-2}. \end{aligned}$$

Ricordando che $w_1 = 2$ e $w_2 = \pi$, si conclude

$$\begin{aligned} \text{se } N = 2k, \text{ allora } w_{2k} &= \overbrace{\frac{2\pi}{2k} \cdot \frac{2\pi}{2k-2} \cdots \frac{2\pi}{4}}^{2k-1 \text{ fattori}} \pi \\ &= \frac{2^{k-1} \pi^k}{2^{k-1} k!} = \frac{\pi^k}{k!} \end{aligned}$$

se $N = 2k+1$, allora k fattori:

$$\begin{aligned} w_{2k+1} &= \underbrace{\frac{2\pi}{2k+1} \cdot \frac{2\pi}{2k-1} \cdots \frac{2\pi}{3}}_k \cdot 2 \\ &= \frac{2^{k+1} \pi^k}{(2k+1)!!} \end{aligned}$$

Osservazione

- $\lim_{N \rightarrow +\infty} w_N = 0$
- $w_1 = 2 < w_2 = \pi < w_3 = \frac{4}{3}\pi < w_4 = \frac{\pi^2}{2} < w_5 = \frac{8}{15}\pi^2$
e $w_N > w_{N+1}$, per $N \geq 5$.
- $\lim_{N \rightarrow +\infty} w_N(C_N) = +\infty$, done

$$C_N = h(x_1, \dots, x_N) : \max \{ |x_1|, \dots, |x_N| \} \leq 1 \}$$